

Artur RYSTWEJ<sup>\*</sup>  
Politechnika Wroclawska

## STOCHASTYCZNA DYNAMIKA BELKI NA PODŁOŻU PASTERNAKA

**Streszczenie.** W pracy rozpatruje się drgania belki nieskończenie długiej spoczywającej na podłożu Pasternaka obciążonej ciągiem sił skupionych poruszających się w jednym kierunku ze stałą prędkością. Przyjęto, że wartości sił, jak również ich rozmieszczenie na długości belki są zmiennymi losowymi. Podano rozwiązanie na kumulantę dla ogólnego i maksymalnego ugięcia belki.

## STOCHASTIC DYNAMICS OF A BEAM ON THE PASTERNAK FOUNDATION

**Summary.** The paper presents an infinite beam resting on a Pasternak foundation is subject to vibration under a series of concentrated forces moving at a constant velocity. The force values and their spacing along the beam are assumed to be random variables. The solution for the n-th order cumulant of the general and maximum beam deflection is given.

### 1. Wstęp

W konstrukcjach inżynierskich związanych z budownictwem komunikacyjnym istotnym zjawiskiem, ze względów zarówno wytrzymałościowych, jak i eksploatacyjnych, są drgania wywołane poruszającym się obciążeniem. Bogaty przegląd literatury obejmującej tę problematykę stanowi monografia Fryby [1]. Z wczesnych prac podejmujących w kategoriach probabilistycznych problem drgań konstrukcji wywołanych ruchomym obciążeniem można wymienić [2], w której rozpatrywano drgania belki nieskończenie długiej obciążonej siłą skupioną opisaną procesem stochastycznym, a także [3], gdzie analizowano drgania mostów poddanych działaniu ruchu drogowego.

W niniejszej pracy rozpatruje się drgania belki nieskończenie długiej spoczywającej na dwuparametrowym podłożu i obciążonej nieskończonym ciągiem sił skupionych poruszających się w jednym kierunku ze stałą prędkością. Uwzględniając losowość wartości,

<sup>\*</sup> Opiekun naukowy: Prof. dr hab. inż. Paweł Śniady

jak i rozmieszczenia sił na długości belki, przedstawiono rozwiązania dla  $n$ -tej kumulanty ugięcia belki, przy czym rozpatrzono przypadek drgań maksymalnych i ogólnych. Otrzymane rozwiązania mogą być wykorzystane m.in. w analizie drgań nawierzchni drogowej.

## 2. Przyjęcie założeń i wyprowadzenie wzorów

Równanie opisujące drgania nieskończenie długiej belki na podłożu dwuparametrowym typu Pasternaka jest postaci [7]:

$$EI \frac{\partial^4 w(x,t)}{\partial x^4} + k_o \cdot w(x,t) - k_1 \cdot \frac{\partial^2 w(x,t)}{\partial x^2} + m \frac{\partial^2 w(x,t)}{\partial t^2} = F(x,t) \quad (1)$$

gdzie  $EI$  oznacza sztywność belki na zginanie,  $k_o$  stałą sprężystości podłoża,  $k_1$  stałą sztywności na ścinanie podłoża,  $m$  masę jednostkową belki,  $w(x,t)$  przemieszczenie pionowe belki oraz  $F(x,t)$  obciążenie.

Niech obciążenie będzie stacjonarnym procesem stochastycznym. Rozważamy ciąg sił poruszających się ze stałą prędkością w losowo określonych odległościach. Poszczególne siły  $A_i$  ( $i = -\infty, \dots, -1, 0, 1, \dots, \infty$ ) są niezależnymi zmiennymi losowymi o jednakowych charakterystykach probabilistycznych  $E[A_i^n] = E[A^n] = const$ .

Wprowadźmy funkcję  $\lambda(x,t)$  oznaczającą intensywność rozkładu sił, a więc wartość oczekiwaną liczby sił na jednostkę długości w punkcie  $x$  i chwili  $t$ . Równanie ciągłości przedstawione poniżej określa, że zmiana liczby pojazdów na odcinku  $dx$  w przedziale czasu  $dt$  musi być równa różnicy pojazdów wjeżdżających do przedziału  $dx$  w punkcie  $x$  i wyjeżdżających w punkcie  $x+dx$  [5]:

$$\frac{\partial \lambda(x,t)}{\partial t} + v \cdot \frac{\partial \lambda(x,t)}{\partial x} = 0 \quad (2)$$

Równanie (2) będzie spełnione wówczas, gdy funkcja  $\lambda(x,t)$  posiada następującą właściwość:

$$\lambda(x,t) = \lambda(x-vt) \quad (3)$$

Przyjmijmy wobec powyższego ruchomy układ współrzędnych określony nową zmienną:

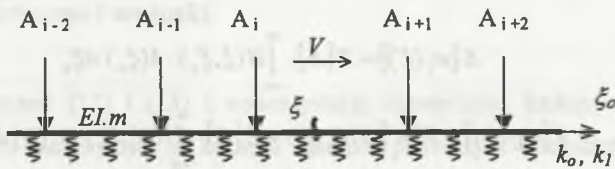
$$\xi = x - vt \quad (4)$$

Przyjęty rozkład sił na odcinku o długości  $d\xi$  jest rozkładem Poissona [4]. Jeśli za  $dN(\xi)$  przyjąć liczbę sił w przedziale  $(\xi, \xi + d\xi)$ , to prawdziwe dla przyjętego rozkładu są zależności podane niżej:

$$E[dN^k(\xi)] = \lambda(\xi) d\xi \quad \text{dla } k = 1, 2, \dots$$

$$E[dN(\xi_1) \cdot dN(\xi_2)] = \lambda(\xi_1) \cdot \lambda(\xi_2) d\xi_1 d\xi_2 \quad \text{dla } \xi_1 \neq \xi_2$$
(5)

Niech  $H(\xi, \xi_0)$  oznacza dynamiczną funkcję wpływu, tzn. przemieszczenie ustalone belki w punkcie  $\xi$  od poruszającej się ze stałą prędkością siły jednostkowej znajdującej się w punkcie  $\xi_0$ . Rozważmy dwie możliwe sytuacje, jakie mogą mieć miejsce w analizowanym zagadnieniu. W pierwszym przypadku przekrój, w którym liczymy ugięcie belki, określony jest w dowolnie wybranym miejscu o współrzędnej  $\xi$  (rys.1).

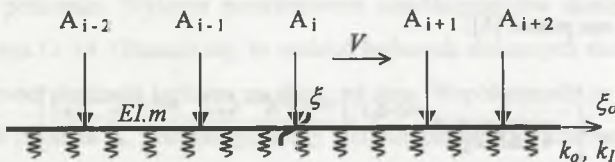


Rys. 1. Schemat dla pierwszej sytuacji zdarzeń  
Fig. 1. The plan of the first case

Ponieważ nie znamy położenia żadnej z sił  $A_n$ , stąd ugięcie belki w powyższej sytuacji w miejscu  $\xi$  określone będzie za pomocą wzoru:

$$w_I(\xi) = \int_{-\infty}^{\infty} A(\xi_0) \cdot H(\xi, \xi_0) dN(\xi_0)$$
(6)

Faktem jest natomiast, że nastąpi taka chwila, w której w interesującym nas przekroju pojawi się jedna z sił  $A_n$ . Mimo że nie jesteśmy w stanie określić, kiedy dokładnie taka sytuacja będzie miała miejsce, to jednak można stwierdzić, że z punktu widzenia probabilistycznego jest to zdarzenie pewne. Co więcej, dla drgań ustalonych, z którymi mamy tutaj do czynienia, pojawienie się jednej z sił w analizowanym przekroju jest równoznaczne z osiągnięciem przez funkcję ugięcia wartości ekstremalnej. Przyjmijmy wobec tego, że w drugim przypadku przekrój  $\xi$ , w którym liczymy ugięcie, znajduje się pod jedną z sił (rys.2).



Rys. 2. Schemat dla drugiej sytuacji zdarzeń  
Fig. 2. The plan of the second case

Ponieważ w tej sytuacji położenie jednej z sił jest dokładnie i ściśle określone, więc dla całego ich zbioru  $A_n$  wzór (6), określający ugięcie belki w przekroju  $\xi$ , ulegnie modyfikacji i przyjmie następującą formę:

$$w_{II}(\xi) = A(\xi) \cdot H(\xi, \xi) + \int_{-\infty}^{\infty} A(\xi_o) \cdot H(\xi, \xi_o) dN(\xi_o) \quad (7)$$

Należy podkreślić, że ponieważ obciążenie belki jest wielkością losową, stąd wyrażenie dane wzorami (6) oraz (7) jest również zmienną losową, której wartość oczekiwana po wykorzystaniu zależności (5) wynosi odpowiednio:

$$E[w_I(\xi)] = E[A] \cdot \int_{-\infty}^{\infty} H(\xi, \xi_o) \cdot \lambda(\xi_o) d\xi_o \quad (8)$$

$$E[w_{II}(\xi)] = E[A] \cdot H(\xi, \xi) + E[A] \cdot \int_{-\infty}^{\infty} H(\xi, \xi_o) \cdot \lambda(\xi_o) d\xi_o \quad (9)$$

natomiast wariancja:

$$\sigma^2[w_I(\xi)] = E[A^2] \cdot \int_{-\infty}^{\infty} H^2(\xi, \xi_o) \cdot \lambda(\xi_o) d\xi_o \quad (10)$$

$$\sigma^2[w_{II}(\xi)] = \sigma_A^2 \cdot H^2(\xi, \xi) + E[A^2] \cdot \int_{-\infty}^{\infty} H^2(\xi, \xi_o) \cdot \lambda(\xi_o) d\xi_o \quad (11)$$

Wartość oczekiwana oraz wariancja są kumulantami odpowiednio I i II rzędu. W ogólnym przypadku kumulantę zmiennej losowej  $w_I(\xi)$  oraz  $w_{II}(\xi)$  rzędu  $n$  zapisujemy odpowiednio:

$$\kappa_n(w_I, \xi) = E[A^n] \cdot \int_{-\infty}^{\infty} H^n(\xi, \xi_o) \cdot \lambda(\xi_o) d\xi_o \quad (12)$$

$$\kappa_n(w_{II}, \xi) = \kappa_n^A \cdot H^n(\xi, \xi) + E[A^n] \cdot \int_{-\infty}^{\infty} H^n(\xi, \xi_o) \cdot \lambda(\xi_o) d\xi_o \quad (13)$$

gdzie wielkość  $\kappa_n^A$  oznacza kumulantę rzędu  $n$  zmiennej losowej  $A_I$ .

Pojawiająca się we wzorach dynamiczna funkcja wpływu  $H(\xi, \xi_o)$  dla belki opisanej równaniem (1) ma postać [6]:

$$H(\xi, \xi_o) = \left\{ \begin{array}{l} \frac{1}{4\sqrt{EI \cdot k_o}} \cdot e^{\alpha(\xi - \xi_o)} \cdot \left[ \frac{\cos \delta(\xi - \xi_o)}{\alpha} - \frac{\sin \delta(\xi - \xi_o)}{\delta} \right] \quad \text{dla } \xi \leq \xi_o \\ \frac{1}{4\sqrt{EI \cdot k_o}} \cdot e^{-\alpha(\xi - \xi_o)} \cdot \left[ \frac{\cos \delta(\xi - \xi_o)}{\alpha} + \frac{\sin \delta(\xi - \xi_o)}{\delta} \right] \quad \text{dla } \xi \geq \xi_o \end{array} \right\} \quad (14)$$

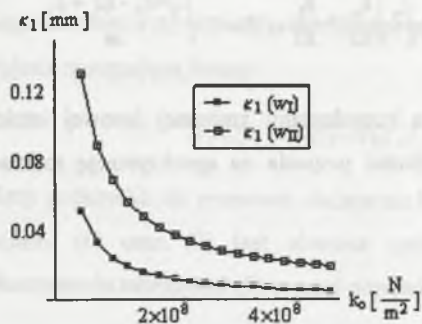
gdzie

$$\alpha = \frac{a}{2} \sqrt{1 - \left(\frac{v}{v_{kr}}\right)^2}, \quad \delta = \frac{a}{2} \sqrt{1 + \left(\frac{v}{v_{kr}}\right)^2}, \quad a = \sqrt{2 \cdot \left(\frac{k_0}{EI} + \frac{k_1}{EI}\right)}, \quad v_{kr} = \sqrt{\frac{\sqrt{4k_0 \cdot EI} + k_1}{m}}$$

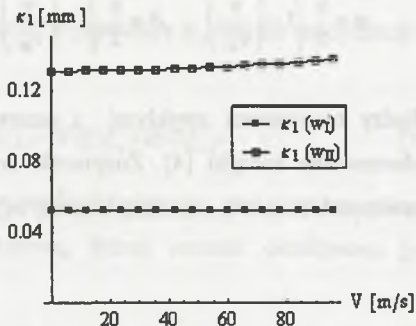
Między momentami zwykłymi i centralnymi a kumulantami zmiennej losowej istnieją jednoznaczne związki [4]. Znajomość tych wielkości pozwala na aproksymację rozkładu prawdopodobieństwa zmiennej losowej  $w(\xi)$ .

### 3. Wyniki numeryczne i wnioski

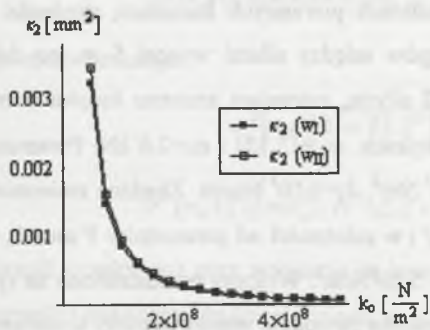
Dysponując wzorami (12) i (13) i wykorzystując dynamiczną funkcję wpływu (14), wykonano obliczenia numeryczne w zakresie czterech pierwszych kumulant, skośności i ekscesu [4]. Przyjęto, że średnia wartość odstępów między siłami wynosi 5 m, co daje wartość intensywności rozkładu sił równą  $\lambda=0.2$  siły/m, natomiast zmienna losowa  $A$  ma rozkład lognormalny o następujących charakterystykach:  $m_A=13$  kN i  $\sigma_A=2.6$  kN. Parametry belki i podłoża wynoszą:  $m=2250$  kg/m,  $EI=9 \cdot 10^7$  Nm<sup>2</sup>,  $k_1=5 \cdot 10^5$  Nm/m. Zbadano zmienność kumulant zmiennych losowych  $w_I(\xi)$  oraz  $w_{II}(\xi)$  w zależności od parametrów  $V$  oraz  $k_0$  w przedziałach odpowiednio 0 – 96m/s oraz  $5 \cdot 10^7 - 5 \cdot 10^8$  N/m<sup>2</sup>. Wykresy przedstawiono na rys. 3-10. Wynika z nich, że uwzględnienie siły w przekroju powoduje wzrost wartości kumulanty w stosunku do sytuacji, kiedy się takowej siły nie uwzględnia. Widać to wyraźnie w przypadku pierwszej kumulanty. Im wyższy rząd, tym różnice w wartościach kumulant tego samego rzędu dla zmiennych losowych  $w_I(\xi)$  oraz  $w_{II}(\xi)$  sukcesywnie maleją. Ponadto, zauważa się o wiele większy wpływ sztywności podłoża  $k_0$ , niż prędkości  $V$  na zmienność kumulant. Co więcej, dla analizowanych zakresów zmienności parametrów  $V$  oraz  $k_0$  stwierdzić można, że wraz ze wzrostem  $k_0$  różnice między kumulantami zmiennych losowych  $w_I(\xi)$  oraz  $w_{II}(\xi)$  ulegają zmniejszeniu, podczas gdy ze wzrostem  $V$  różnice te utrzymują się raczej na stałym poziomie. Wykresy porównawcze współczynników skośności i ekscesu przedstawiono na rys.11-14. Okazuje się, że rozkład badanych zmiennych nie jest rozkładem normalnym, ponieważ skośność i eksces są różne od zera. Współczynniki te są wrażliwe na zmianę sztywności podłoża  $k_0$ , podczas gdy przy zmianie prędkości  $V$  ich wartość nie ulega znaczącej zmianie. Ponadto dla zmiennej losowej  $w_{II}(\xi)$  przyjmują one wartości bliższe zeru, a więc rozkład jest bardziej zbliżony do normalnego niż w przypadku  $w_I(\xi)$ .



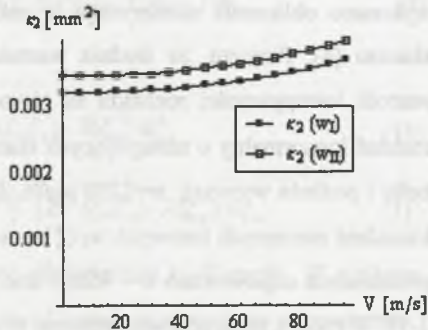
Rys. 3. Zależność  $\kappa_1$  od  $k_0$  ( $V=20\text{m/s}$ )  
Fig. 3. Relation between  $\kappa_1$  and  $k_0$



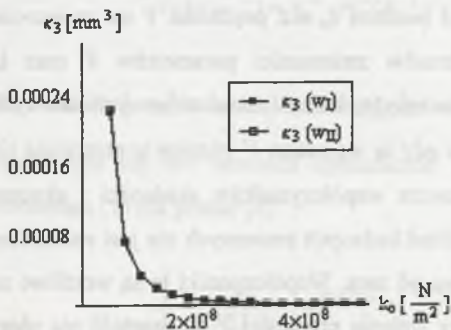
Rys. 4. Zależność  $\kappa_1$  od  $V$  ( $k_0=5\cdot 10^7\text{N/m}^2$ )  
Fig. 4. Relation between  $\kappa_1$  and  $V$



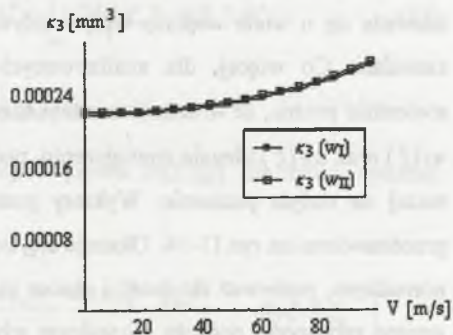
Rys. 5. Zależność  $\kappa_2$  od  $k_0$  ( $V=20\text{m/s}$ )  
Fig. 5. Relation between  $\kappa_2$  and  $k_0$



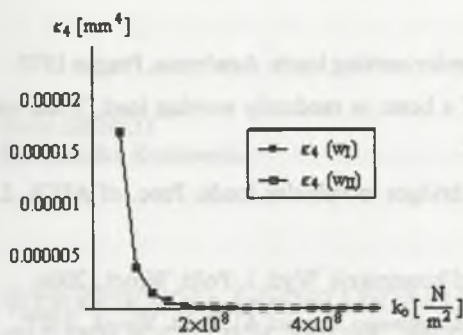
Rys. 6. Zależność  $\kappa_2$  od  $V$  ( $k_0=5\cdot 10^7\text{N/m}^2$ )  
Fig. 6. Relation between  $\kappa_2$  and  $V$



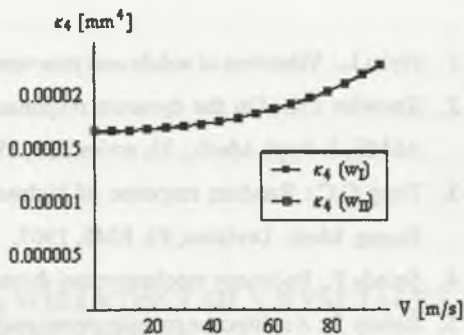
Rys. 7. Zależność  $\kappa_3$  od  $k_0$  ( $V=20\text{m/s}$ )  
Fig. 7. Relation between  $\kappa_3$  and  $k_0$



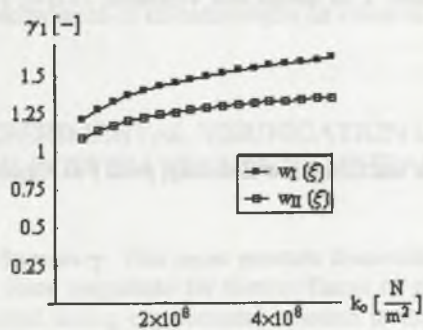
Rys. 8. Zależność  $\kappa_3$  od  $V$  ( $k_0=5\cdot 10^7\text{N/m}^2$ )  
Fig. 8. Relation between  $\kappa_3$  and  $V$



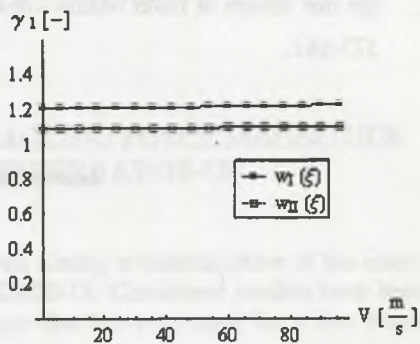
Rys. 9. Zależność  $\kappa_4$  od  $k_0$  ( $V=20\text{m/s}$ )  
 Fig. 9. Relation between  $\kappa_4$  and  $k_0$



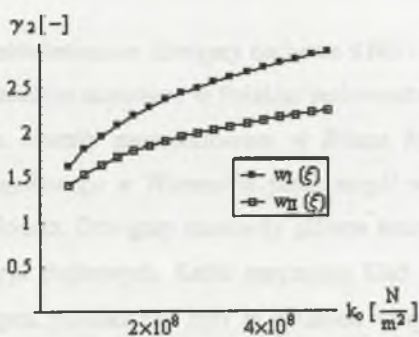
Rys. 10. Zależność  $\kappa_4$  od  $V$  ( $k_0=5\cdot 10^7\text{N/m}^2$ )  
 Fig. 10. Relation between  $\kappa_4$  and  $V$



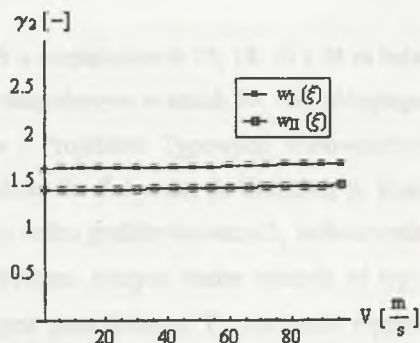
Rys. 11. Wsp. skośności  $\gamma_1$  od  $k_0$  ( $V=20\text{m/s}$ )  
 Fig. 11. Relation between skewness  $\gamma_1$  and  $k_0$



Rys. 12. Wsp. skośności  $\gamma_1$  od  $V$  ( $k_0=5\cdot 10^7\text{N/m}^2$ )  
 Fig. 12. Relation between skewness  $\gamma_1$  and  $V$



Rys. 13. Wsp. ekscesu  $\gamma_2$  od  $k_0$  ( $V=20\text{m/s}$ )  
 Fig. 13. Relation between excess  $\gamma_2$  and  $k_0$



Rys. 14. Wsp. ekscesu  $\gamma_2$  od  $V$  ( $k_0=5\cdot 10^7\text{N/m}^2$ )  
 Fig. 14. Relation between excess  $\gamma_2$  and  $V$

## LITERATURA

1. Fryba L.: *Vibration of solids and structures under moving loads*. Academia, Prague 1972.
2. Knowles J.K.: On the dynamic response of a beam to randomly moving load. *Trans. of ASME, J. Appl. Mech.*, 35, series E, 1, 1968.
3. Tung C.C.: Random response of highway, bridges to vehicles loads. *Proc. of ASCE, J. Engng. Mech. Division*, 93, EM5, 1967.
4. Śniady P.: *Podstawy stochastycznej dynamiki konstrukcji*. Wyd. 1, Polit. Wrocław, 2000.
5. Śniady P.: *Analityczne metody oceny ruchu drogowego*. Raport, 61, Polit. Wrocław, 1977.
6. Śniady P.: Drgania belki nieskończenie długiej wywołane losową serią sił ruchomych. *Rozprawy Inżynierskie*, 31, 2, 193-201, 1983.
7. De Rosa M.A., Maurizi M.J.: The influence of concentrated masses and Pasternak soil on the free vibrats of Euler beams – exact solution. *J. of Sound and Vibration*, 212(4), 1998, 573-581.

Recenzent: Dr hab. inż. Zbigniew Zembaty, prof. Pol. Opolskiej